

Indice del capitolo 3:

3. Problema dei 3 corpi ristretto circolare. Equazioni del moto, integrale di Jacobi, criterio di stabilità di Hill. Esempi di moti ordinati e moti caotici (anche in assenza di instabilità macroscopiche). Accenni al problema ristretto ellittico

- **Il problema dei 3 corpi ristretto circolare: equazioni del moto nel riferimento inerziale**
 - **Equazioni del moto nel riferimento rotante, integrale di Jacobi e suo significato**
 - **Curve di livello dell'integrale di Jacobi e posizioni di equilibrio**
 - **Curve a velocità zero e criterio di stabilità di Hill**
 - **Criterio di stabilità di Hill applicato agli asteroidi, calcolo del punto di equilibrio tra le masse della binaria e sfera di influenza**
-

Programma di: ELEMENTI DI MECCANICA CELESTE

Docente: ANNA M. NOBILI

Anno Accademico: 2009-1010

Laurea Matematica (Triennale) Anno di Corso Terzo Semestre Primo

Numero crediti : 7 (6 per la laurea magistrale), 45 ore

CONTENUTI DELL' INSEGNAMENTO

Il Corso si articola nei seguenti 5 argomenti principali tra loro collegati:

1. Problema dei 2-corpi ed Equazione di Keplero. Soluzione del problema dei 2-corpi con l'uso del vettore di Lenz. Orbite ed elementi orbitali. Equazione di Keplero, legge oraria e soluzione numerica..
2. Problema dei 2-corpi in caso di violazione del Principio di Equivalenza. Soluzione, confronto con il caso classico e rilevanza per esperimenti spaziali con corpi celesti e/o artificiali
3. Problema dei 3 corpi ristretto circolare. Equazioni del moto, integrale di Jacobi, criterio di stabilità di Hill. Esempi di moti ordinati e moti caotici (anche in assenza di instabilità macroscopiche). Accenni al problema ristretto ellittico
4. Moti della Terra come corpo esteso. Si scrivono e si risolvono le equazioni che descrivono il moto dei poli della Terra (precessione libera, precessione lunisolare e loro effetti astronomici).
5. Potenziale mareale ed effetti della marea. Si ricava il potenziale che genera le maree. Si discutono gli effetti della marea sul moto della Terra, della Luna e di altri corpi del Sistema Solare

§5. IL PROBLEMA DEI 3-CORPI RISTRETTO CIRCOLARE

- Si definisce problema dei 3 corpi ristretto lo studio del moto di due corpi P_1 e P_2 -primario e secondario- di massa m_1 ed m_2 le loro confrontabili (puntiformi o con distribuzione di massa a simmetria sferica), più un terzo corpo P_3 di massa trascurabile rispetto a P_1 e P_2 . Il moto di P_3 è quindi influenzato da P_1 e P_2 ma non reagisce su di essi che orbitano -come se P_3 non ci fosse- attorno al proprio centro di massa. Nel problema dei 3-corpi ristretti circolare le orbite di P_1 e P_2 sono circolari.
- Mi limiterò al caso piano e farò notare quando la generalizzazione al caso tridimensionale presenta dei problemi.

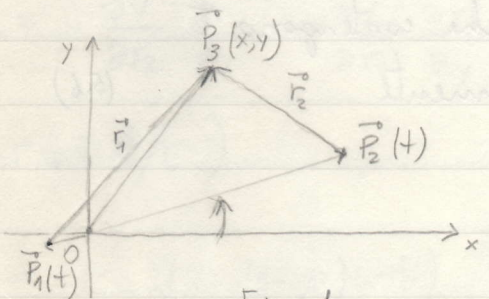


Fig. 1

Oxy sistema di riferimento inerziale centrato nel centro d' massa di m_1 ed m_2
verso di rotazione di \vec{P}_1 e \vec{P}_2
(A t=0 $\vec{P}_1(0)$ e $\vec{P}_2(0)$ graciono sull'asse delle x)

Fissate le unità di massa, lunghezza e tempo nel modo seguente:

$$\begin{cases} M_{\text{tot}} = m_1 + m_2 = 1 \\ d \equiv |\vec{P}_2 - \vec{P}_1| = 1 \\ G = 1 \end{cases} \quad (5.1)$$

e definisco

$$\frac{m_2}{m_1 + m_2} = \mu \quad (5.2)$$

(il secondario ha una frazione μ della massa totale)

$$\frac{m_1}{m_1+m_2} = 1-\mu$$

Allora

$$|\vec{P}_1 - \vec{o}| = \mu ; |\vec{P}_2 - \vec{o}| = 1-\mu \quad (5.4)$$

e per la 3^a legge di Keplero:

$$n^2 d^3 = G (m_1 + m_2) \quad (n = \text{moto medio} = \frac{2\pi}{\text{periodo orbitale}})$$

con le unità (5.1):

$$n=1, P=2\pi \quad (5.5)$$

↑ periodo orbitale di \vec{P}_1 e \vec{P}_2 attorno al loro centro di massa O.

Se \vec{P}_1 e \vec{P}_2 gracciono nell'arco x a $t=0$ le loro coordinate al tempo t sono:

$$\begin{cases} \vec{P}_2(t) = ((1-\mu) \cos t, (1-\mu) \sin t) \\ \vec{P}_1(t) = (-\mu \cos t, -\mu \sin t) \end{cases} \quad + \text{si noti che contengono t esplicitamente} \quad (5.6)$$

mentre

$$\vec{P}_3 = (x, y)$$

L'energia potenziale (in unità di massa) del 3^o corpo dovuta alla attrazione gravitazionale di m_1 ed m_2 è: (con le unità (5.1))

$$V(x, y, t) = -\frac{\mu}{|\vec{P}_3 - \vec{P}_2(t)|} - \frac{1-\mu}{|\vec{P}_3 - \vec{P}_1(t)|} \quad (5.7)$$

si noti la dipendenza esplicita dal tempo

con:

$$\left\{ \begin{array}{l} r_2(t) = |\vec{P}_3 - \vec{P}_2(t)| = ((x - (1-\mu)\cos t)^2 + (y - (1-\mu)\sin t)^2)^{1/2} \\ r_1(t) = |\vec{P}_3 - \vec{P}_1(t)| = ((x + \mu\cos t)^2 + (y + \mu\sin t)^2)^{1/2} \end{array} \right. \quad (5.8)$$

poiché le forze in gioco sono centrali il problema è conservativo e vale, (NOTA: si dimostra che ogni forza centrale è conservativa indipendentemente dalla dipendenza della misura della forza dalla distanza):

$$\ddot{\vec{P}}_3 = -\vec{\nabla} V \quad \vec{\nabla} \equiv \left(\frac{\partial}{\partial x}, \frac{\partial}{\partial y} \right) \quad (5.9)$$

cioè se si mette allora:

$$\left\{ \begin{array}{l} \ddot{x} = -\frac{\partial V}{\partial r_2} \frac{\partial r_2}{\partial x} - \frac{\partial V}{\partial r_1} \frac{\partial r_1}{\partial x} \\ \ddot{y} = -\frac{\partial V}{\partial r_2} \frac{\partial r_2}{\partial y} - \frac{\partial V}{\partial r_1} \frac{\partial r_1}{\partial y} \end{array} \right.$$

$$(\vec{\nabla} r = \vec{F}/r)$$

$$\left\{ \begin{array}{l} \ddot{x} = -\frac{\mu}{r_2^3(t)} (x - (1-\mu)\cos t) - \frac{1-\mu}{r_1^3(t)} (x + \mu\cos t) \\ \ddot{y} = -\frac{\mu}{r_2^3(t)} (y - (1-\mu)\sin t) - \frac{1-\mu}{r_1^3(t)} (y + \mu\sin t) \end{array} \right. \quad (5.10)$$

eq. del moto d. \vec{P}_3 nel riferimento ridotto d. Fig. 1

Per eliminare la dipendenza esplicita dal tempo si esegue una trasformazione di coordinate anch'essa dipendente dal tempo.

Poiché la dipendenza esplicita da t viene dal fatto che \vec{P}_1 , \vec{P}_2 rotano, semplicemente si fa nel riferimento $O\tilde{x}\tilde{y}$ solidale con \vec{P}_1 e \vec{P}_2 , cioè ruotante con velocità angolare $n=1$ attorno al centro di massa O ($O\tilde{x}\tilde{y}$ si chiama riferimento sidereo e $O\tilde{x}\tilde{y}$ riferimento sinodico). (Ved. Fig. 2)

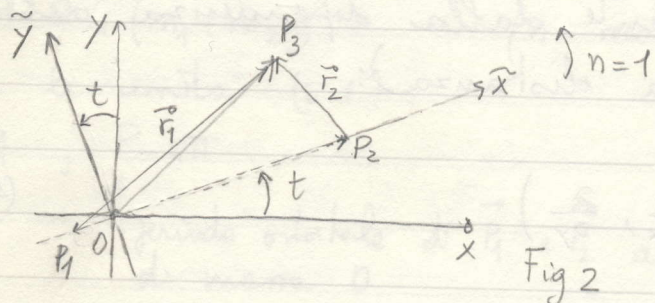


Fig 2

Nel riferimento sinodico:

$$\begin{cases} \vec{P}_1 = (-\mu, 0) \\ \vec{P}_2 = (1-\mu, 0) \\ \vec{P}_3 = (\tilde{x}, \tilde{y}) \end{cases} \quad (5.11)$$

$$\begin{cases} \vec{r}_1 = \vec{P}_3 - \vec{P}_1 = (\tilde{x} + \mu, \tilde{y}) \\ \vec{r}_2 = \vec{P}_3 - \vec{P}_2 = (\tilde{x} - 1 + \mu, \tilde{y}) \end{cases} \quad (5.12)$$

Le eq. che esprimono il passaggio dalle coordinate \tilde{x}, \tilde{y} alle x, y e viceversa (si tratta di una semplice rotazione) sono:

$$\begin{cases} x = \tilde{x} \cos t - \tilde{y} \sin t \\ y = \tilde{x} \sin t + \tilde{y} \cos t \end{cases} \quad (5.13)$$

$$\begin{cases} \tilde{x} = x \cos t + y \sin t \\ \tilde{y} = -x \sin t + y \cos t \end{cases} \quad (5.14)$$

Un modo possibile per scrivere le eq. del moto di P_3 nel riferimento

sinodico si di partire dalle eq. d' moto nel riferimento rotante (le (5.10)) usando le (5.13) e le loro derivate temporali prima e seconda per scrivere le $\dot{x}, \ddot{x}, \dot{y}, \ddot{y}$ in termini delle $\tilde{x}, \tilde{y}, \dot{\tilde{x}}, \ddot{\tilde{x}}, \dot{\tilde{y}}, \ddot{\tilde{y}}$.

$$\begin{cases} \dot{x} = \dot{\tilde{x}} wst - \dot{\tilde{y}} sint - \tilde{x} sint - \tilde{y} wst \\ \dot{y} = \dot{\tilde{x}} sint + \dot{\tilde{y}} wst + \tilde{x} wst - \tilde{y} sint \end{cases} \quad (5.15)$$

$$\begin{cases} \ddot{x} = \ddot{\tilde{x}} wst - \ddot{\tilde{y}} sint - 2\dot{\tilde{x}} sint - 2\dot{\tilde{y}} wst - \tilde{x} wst + \tilde{y} sint \\ \ddot{y} = \ddot{\tilde{x}} sint + \ddot{\tilde{y}} wst + 2\dot{\tilde{x}} wst - 2\dot{\tilde{y}} sint - \tilde{x} sint - \tilde{y} wst \end{cases} \quad (5.16)$$

Le (5.10) diventano allora:

$$\left. \begin{aligned} \ddot{x} wst - \ddot{\tilde{y}} sint - 2\dot{\tilde{x}} sint - 2\dot{\tilde{y}} wst - \tilde{x} wst + \tilde{y} sint &= -\frac{\mu}{r_2^3} (\tilde{x} wst - \tilde{y} sint - (1-\mu) wst) \\ - \frac{1-\mu}{r_1^3} (\tilde{x} wst - \tilde{y} wst + \mu wst) \end{aligned} \right] - (5.17)$$

$$\begin{aligned} \ddot{\tilde{x}} wst + \ddot{\tilde{y}} wst + 2\dot{\tilde{x}} wst - 2\dot{\tilde{y}} sint - \tilde{x} sint - \tilde{y} wst &= -\frac{\mu}{r_2^3} (\tilde{x} wst + \tilde{y} wst - (1-\mu) wst) - \\ - \frac{1-\mu}{r_1^3} (\tilde{x} sint + \tilde{y} wst + \mu wst) \end{aligned}$$

dove:

$$\tilde{P}_1 = \tilde{P}_3 - \tilde{P}_1 = (\tilde{x} + \mu, \tilde{y}) \quad (5.18)$$

$$\tilde{P}_2 = \tilde{P}_3 - \tilde{P}_2 = (\tilde{x} - 1 + \mu, \tilde{y})$$

Dalle (5.17), moltiplicando la prima per wst e la seconda per $sint$, e sommando ottengo l'eq. del moto per la componente \tilde{x} nel riferimento rotante. In modo analogo dalla (5.17) si ottiene

l'eq. d. moto per \tilde{y} . Risulte:

$$\begin{cases} \ddot{\tilde{x}} = 2\dot{\tilde{y}} + \tilde{x} - \frac{\mu}{r_2^3} (\tilde{x} - 1 + \mu) - \frac{1-\mu}{r_1^3} (\tilde{x} + \mu) \\ \ddot{\tilde{y}} = -2\dot{\tilde{x}} + \tilde{y} - \frac{\mu}{r_2^3} \tilde{y} - \frac{1-\mu}{r_1^3} \tilde{y} \end{cases} \quad (5.19)$$

Dalle (5.19), moltiplicando la prima per \tilde{x} e la seconda per \tilde{y} e sommando si ha:

$$\ddot{\tilde{x}}\tilde{x} + \ddot{\tilde{y}}\tilde{y} = \tilde{x}\ddot{\tilde{x}} + \tilde{y}\ddot{\tilde{y}} - \frac{\mu}{r_2^3} [(\tilde{x} - 1 + \mu)\dot{\tilde{x}} + \tilde{y}\dot{\tilde{y}}] - \frac{1-\mu}{r_1^3} [(\tilde{x} + \mu)\dot{\tilde{x}} + \tilde{y}\dot{\tilde{y}}] \quad (5.20)$$

e quindi:

$$\frac{d}{dt} \left[\frac{\dot{\tilde{x}}^2 + \dot{\tilde{y}}^2}{2} - \frac{\tilde{x}^2 + \tilde{y}^2}{2} - \frac{\mu}{r_2} - \frac{(1-\mu)}{r_1} \right] = 0 \quad (5.21)$$

cioè:

$$C = \frac{1}{2} (\dot{\tilde{x}}^2 + \dot{\tilde{y}}^2) - \left[\frac{1}{2} (\tilde{x}^2 + \tilde{y}^2) + \frac{\mu}{r_2} + \frac{1-\mu}{r_1} \right] \quad (5.22)$$

è un integrale primo del moto, moto come integrale di Jacobi.
Per sapere a quale grandezza fisica corrisponde si può tornare al riferimento sidereo x, y usando le (5.14) e le loro derivate prime:

$$\begin{cases} \dot{x} = \dot{x}_{wst} + \dot{y}_{nit} - x_{sint} + y_{cost} \\ \dot{y} = -\dot{x}_{nit} + \dot{y}_{wst} - x_{wst} - y_{sint} \end{cases} \quad (5.23)$$

Risulte

$$C = \frac{1}{2} (\dot{x}^2 + \dot{y}^2) - \frac{\mu}{r_2(t)} - \frac{(1-\mu)}{r_1(t)} - (xy - yx) \quad (5.24)$$

cord. sidereo

Come si vede l'integrale di Jacobi non è l'energia (per

mità di massa) del terzo corpo in quanto contiene anche il momento angolare (per metà di massa) \vec{J} ($\vec{J} = \vec{r} \times \vec{v}$) :

$$C_{\text{rid}} = E - J$$

e in generale, se non avessimo usato metà di massa in cui il moto medio n dei primari non è 1, sarebbe:

$$C_{\text{rid}} = E - n J \quad \text{In generale} \quad C_{\text{rid}} = E - \vec{n} \cdot \vec{J} \quad (5.25)$$

Tornando a C nel riferimento simbolico (5.22) lo scrivo come:

$$C = \frac{1}{2} (\dot{x}^2 + \dot{y}^2) - \mathcal{R}(x, y) \quad (5.26)$$

con

$$\mathcal{R}(x, y) = \frac{1}{2} (\dot{x}^2 + \dot{y}^2) + \frac{\mu}{r_2} + \frac{1-\mu}{r_1} \quad (5.27)$$

Dove essere:

$$C + \mathcal{R}(x, y) > 0 \quad (5.28)$$

perché l'energia cinetica è sempre positiva. Allora le curve di livello della funzione $\mathcal{R}(x, y)$ - per ogni valore fisso di C (e.g. una volta state le condizioni iniziali) - devono soddisfare la disegnazione

$$\mathcal{R}(x, y) \geq -C \quad (5.29)$$

dove l'uguale corrisponde ad energia cinetica nulla. Le curve

$$\mathcal{R}(x, y) = -C \quad (5.30)$$

si chiamano curve a velocità nulla (nel riferimento rotante!)

sono quelle curve che la particella può toccare ma non attraversare perché questo significherebbe avere una velocità negativa. La funzione $R(\tilde{x}, \tilde{y})$ ha 3 poli, cioè assume valore infinito per $\tilde{r}_1=0$, per $\tilde{r}_2=0$ o per $\tilde{x}^2 + \tilde{y}^2 = \infty$; un valore di $-C$ grande corrisponde a ad una regione attorno ad m_1 , a ad una regione attorno ad m_2 o ad una regione all' ∞ (a seconda delle condizioni iniziali) - e più si tratta di un satellite di m_1 , o di un satellite di m_2 o di un oggetto che orbita attorno al bimassimo di m_1, m_2 (l'origine) a grande distanza (grande rispetto ad i due i le distanze mutua ha m_1 ed m_2).

Le regioni di moto fermate per quel valore dell'integrale di Jacobi sono quelle, tratteggiate in Fig. 3

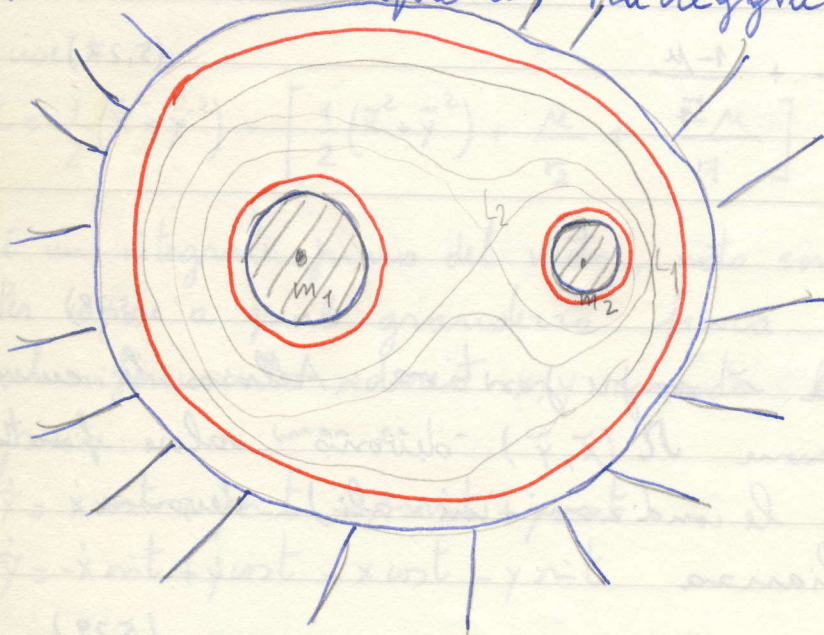
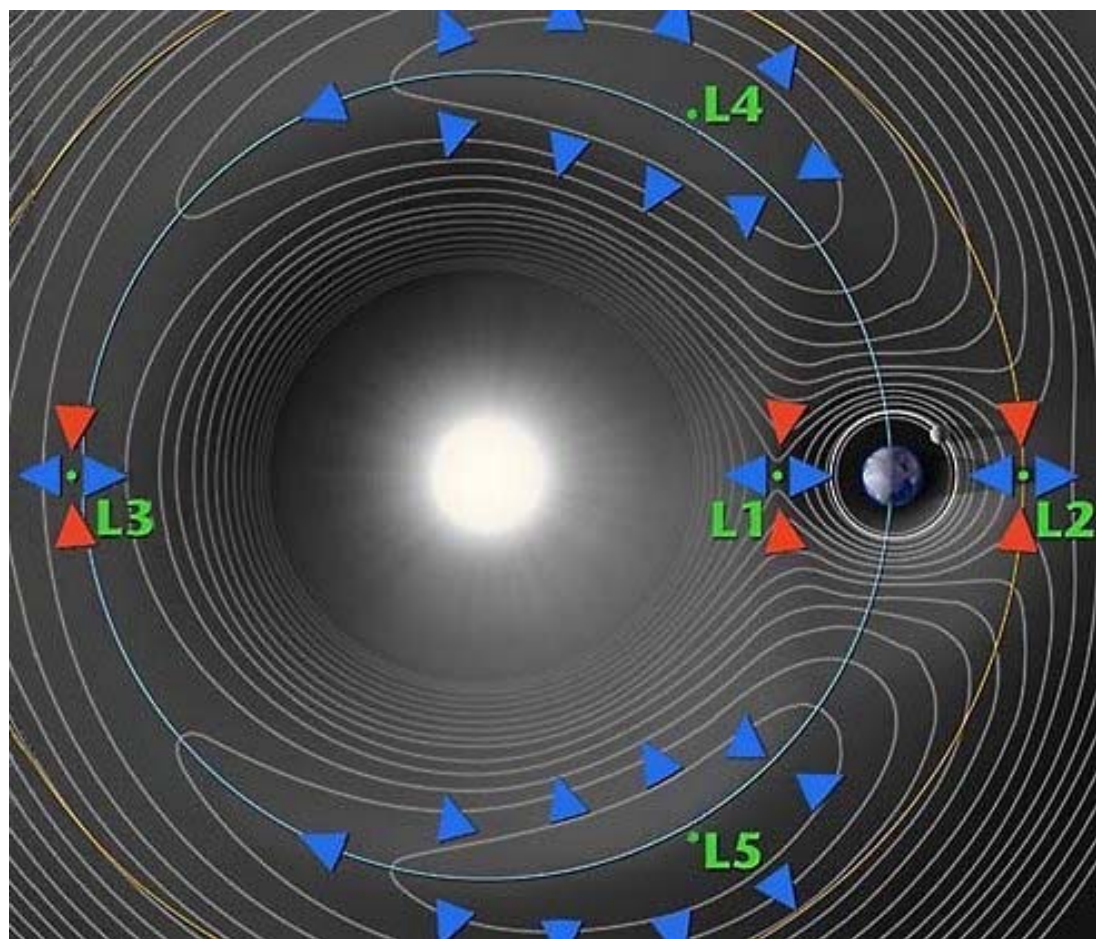


Fig. 3

Prendendo un valore più piccolo di $(-C)$ le curve si modificano come mostrato in Fig. 3. Per ogni valore dell'integrale di Jacobi per cui ci ha una orbita del tipo di quelle di Fig. 3 (i.e. le 3 curve -attorno ad

Punti di equilibrio Lagrangiani del problema dei 3 corpi ristretto circolare

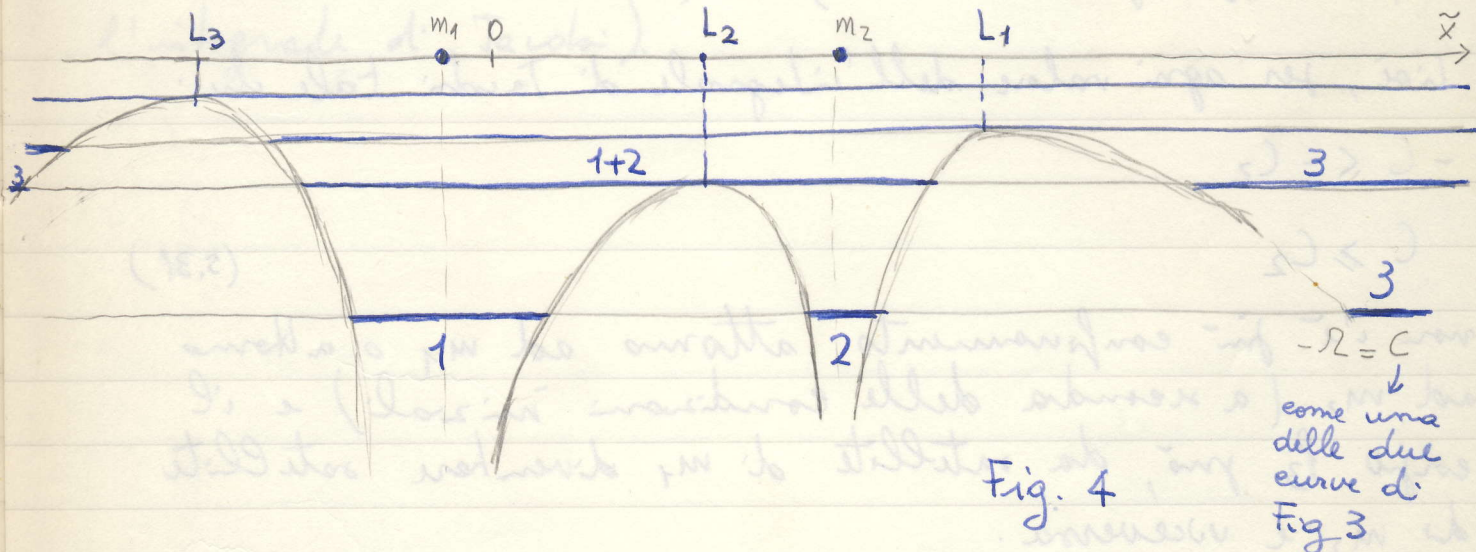


m_1 , attorno ad m_2 e all'infinito - non si trovano) si può affermare che il corpo P_3 è destinato a restare ^{immobile} in quella di queste 3 regioni in cui si trova a $t=0$ - quando è stato calcolato il suo integrale d'azione - in un tempo infinito.

Cosa succede se si diminuisce ulteriormente ($-C$)? Per farcene una idea qualitativa possiamo fare la funzione

$$-R(\tilde{x}, 0) = -\frac{m}{|\tilde{x}_1|} - \frac{1-m}{|\tilde{x}_2|} - \frac{1}{2} \tilde{x}^2$$

dove \tilde{x}_1 è la distanza di P_3 da P_1 ; \tilde{x}_2 la distanza di P_3 da P_2 e per semplicità abbiamo posto $\tilde{y}=0$



la Fig. 4 mostra come, all'aumentare di ($-C$) le 3 regioni si riducono a 2 e poi ad una sola. Già avviene in corrispondenza dei punti L_2 , L_1 , L_3 che sono punti di forza zero e si chiamano punti di equilibrio relativo o punti lagrangiani. È importante notare ↴ (nel riferimento rotante!)

che la posizione di questi punti difende solo dal rapporto
di massa e perciò non possono escludere se qualunque
esca data da corpi; semplicemente, nel problema dei
3 corpi notretto circolare essi assumono ma partecolare
importanza, come mostrerà la fig.

La Fig. 5 mostra come sono fatte le curve a velocità zero
(5.30) per vari valori dell'integrale di Jacobi. In particolare
la curva fatta a forma d'otto che passa per il
punto L_2 (chiamerò L_2 il valore dell'integrale di
Jacobi in questa curva) ha grande importanza perché
tra loro le due regioni U_1 ed U_2 (afferme ad
 m_1 ad m_2 rispettivamente).

Quindi, per ogni valore dell'integrale di Jacobi tale che:

$$-L < -L_2$$

$$C > L_2$$

(5.31)

non c'è più confinamento attorno ad m_1 o attorno
ad m_2 (a seconda delle condizioni iniziali) e il
corpo P_3 può, da satellite di m_1 , diventare satellite
di m_2 e viceversa.

Nel problema dei 3 corpi notretto circolare si può quindi
formulare un criterio di stabilità nel moto seguente. Dati i due
corpi m_1 ed m_2 si calcolano il punto L_2 e il valore corrispondente

dell'integrale di Jacobi C_2 . Quindi, dato un corpo senza massa con condizioni iniziali $\tilde{x}_0, \tilde{y}_0, \dot{\tilde{x}}_0, \dot{\tilde{y}}_0$ (nel riferimento rotante), si calcola il valore del suo integrale di Jacobi $(\tilde{x}_0, \tilde{y}_0, \dot{\tilde{x}}_0, \dot{\tilde{y}}_0)$. Se risulta

$$C(\tilde{x}_0, \tilde{y}_0, \dot{\tilde{x}}_0, \dot{\tilde{y}}_0) \leq C_2 \quad (5.32)$$

il terzo corpo x era satellite di m_1 a $t=0$ continuare ad esserlo per sempre e così se era satellite di m_2 .

La (5.32) si chiama criterio di stabilità di Hill e vale anche (aggiungendo la terza dimensione) nel problema rotatorio eccolare in \mathbb{R}^3 . (Il problema può essere tridimensionale ma m_1 ed m_2 devono continuare ad essere in orbite eccolari, altrimenti non c'è più l'integrale di Jacobi).

$$\tilde{x}_{k+1} = x(t_k + h)$$

$$\tilde{E}_{k+1}$$

$$E^{k+1}$$

$$hD = \log E^1$$

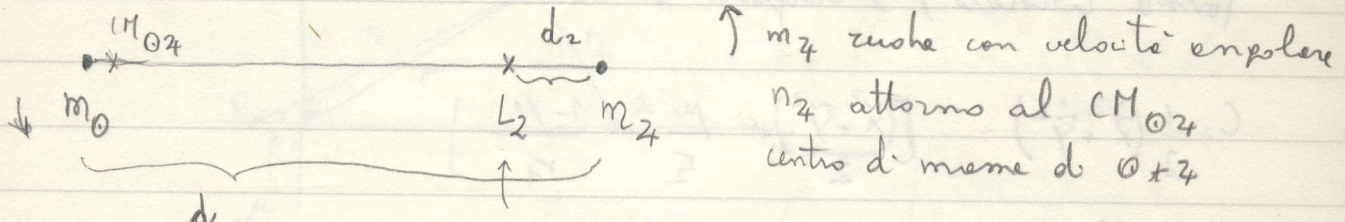
$$E^k = I - \nabla V, \quad E^1 = (I - \nabla)^{-1} = \sum_{j=0}^{\infty} \nabla^j$$

$$\log (E - \nabla)^{-1} = -\log (I - \nabla) = \nabla - \frac{1}{2}\nabla^2 + \frac{1}{3}\nabla^3$$

31 Agosto 1993

CRITERIO DI STABILITÀ DI HILL APPLICATO AGLI ASTEROIDI

- Calcolo della posizione del punto di equilibrio L_2 interno tra m_0 ed m_2



m_4 ruota con velocità angolare
 ω_2 attorno al CM_{02}
 centro di massa di $0+2$

Definito come punto di equilibrio, cioè
 punto di forza totale ϕ (i.e. un punto
 masso che si trovi esattamente in L_2
 con velocità iniziale nulla - rispetto al
 riferimento costante con Groe - ri-
 resterà inalteratamente in quanto non
 soggetto ad alcuna forza)

$$\frac{Gm_4}{d_2^2} = \frac{3 Gm_0}{d_{02}^3} d_2$$

attrazione di Groe

accelerazione marziale dovuta al
 Sole nel punto L_2
 (Vedi pagina e minuti)

$$d_2^3 = \frac{m_4}{3m_0} d_{02}^3$$

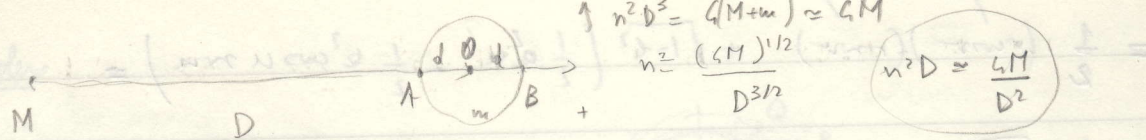
$$m_0 + m_4 = 1$$

$$d_2^3 = \frac{\mu}{3(1-\mu)} d_{02}^3 \approx \frac{\mu}{3} d_{02}^3$$

$$\mu = \frac{m_4}{m_0 + m_4}$$

$$d_2 \approx d_{02} \left(\frac{\mu}{3} \right)^{1/3}$$

TIDAL FORCES IN THE RADIAL DIRECTION ($M \gg m$, $D \gg d$)



$$n^2 D^3 = GM + m \approx GM$$

$$n^2 = \frac{(GM)^{1/2}}{D^{3/2}}$$

$$n^2 D \approx \frac{GM}{D^2}$$

$$0: -\frac{GM}{D^2} + n^2 D = 0 \quad \text{zero force point}$$

$$GM/D^2$$

$$A: -\frac{GM}{(D-d)^2} + n^2(D-d) = -\frac{GM}{D^2(1-\frac{d}{D})^2} + n^2 D \left(1 - \frac{d}{D}\right) \approx -\frac{GM}{D^2} \left(1 + \frac{d}{D}\right) + n^2 D \left(1 - \frac{d}{D}\right) \approx -\frac{GM}{D^2} \left(1 + \frac{d}{D}\right)$$

$$B: -\frac{GM}{(D+d)^2} + n^2(D+d) = -\frac{GM}{D^2(1+\frac{d}{D})^2} + n^2 D \left(1 + \frac{d}{D}\right) \approx -\frac{GM}{D^2} \left(1 - \frac{2d}{D}\right) + n^2 D \left(1 + \frac{d}{D}\right) \approx \frac{GM}{D^2} \left(1 + \frac{3d}{D}\right)$$

$$(1+\epsilon)^{-2} \approx 1 - 2(1+\epsilon)^{-3}, \epsilon \approx 1 - 2\epsilon$$

$$(1-\epsilon)^{-2} \approx 1 + 2\epsilon$$

so $\epsilon = \frac{d}{D} = \frac{R_E}{R_E + R_M} = \frac{R_E}{2R_E + R_M} = \frac{1}{3}$

$\therefore \frac{GM}{D^2} \left(1 + \frac{3d}{D}\right) = \frac{GM}{D^2} \left(1 + \frac{3}{3}\right) = \frac{4GM}{9D^2}$

$\therefore \frac{GM}{D^2} \left(1 - \frac{2d}{D}\right) = \frac{GM}{D^2} \left(1 - \frac{2}{3}\right) = \frac{1GM}{9D^2}$

$\therefore \frac{GM}{D^2} \left(1 + \frac{d}{D}\right) = \frac{GM}{D^2} \left(1 + \frac{1}{3}\right) = \frac{4GM}{9D^2}$

$\therefore \frac{GM}{D^2} \left(1 - \frac{d}{D}\right) = \frac{GM}{D^2} \left(1 - \frac{1}{3}\right) = \frac{2GM}{9D^2}$

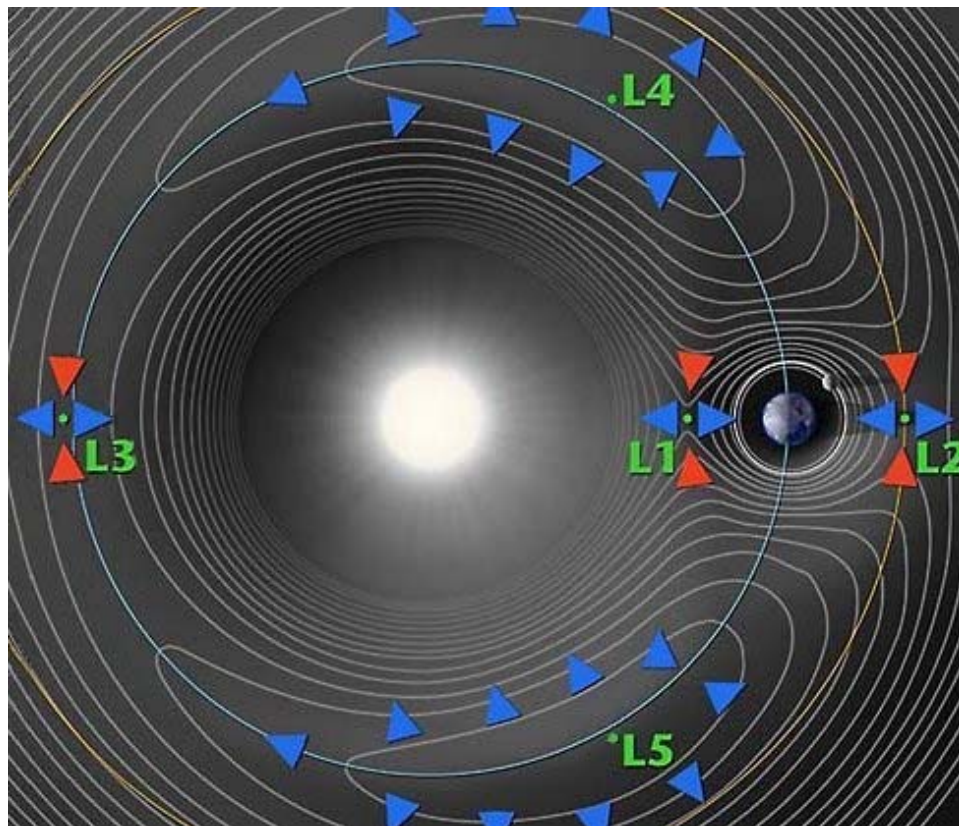
$\therefore \frac{GM}{D^2} \left(1 + \frac{2d}{D}\right) = \frac{GM}{D^2} \left(1 + \frac{2}{3}\right) = \frac{5GM}{9D^2}$

$\therefore \frac{GM}{D^2} \left(1 - \frac{4d}{D}\right) = \frac{GM}{D^2} \left(1 - \frac{4}{3}\right) = \frac{-1GM}{9D^2}$

Occorre andare all'infinito per sfuggire all'attrazione della Terra?

- Il modello fisico di base è il problema dei 3 corpi: Terra, Sole, sonda

Approssimazioni: i) la sonda “sente” l’attrazione di Sole e Terra, ma non viceversa perché la sua massa è trascurabile rispetto ad entrambi; ii) Sole e Terra sono puntiformi (o a simmetria sferica) e su orbite circolari (problema dei 3 corpi ristretto circolare)



Nel riferimento rotante con la Terra attorno al Sole, essi sono fermi e posso calcolare dove si può svolgere il moto della “sonda” (a seconda delle sue condizioni iniziali)

La Terra ha una sua sfera di influenza al di fuori della quale il moto della sonda è dominato dal Sole. Il suo raggio è

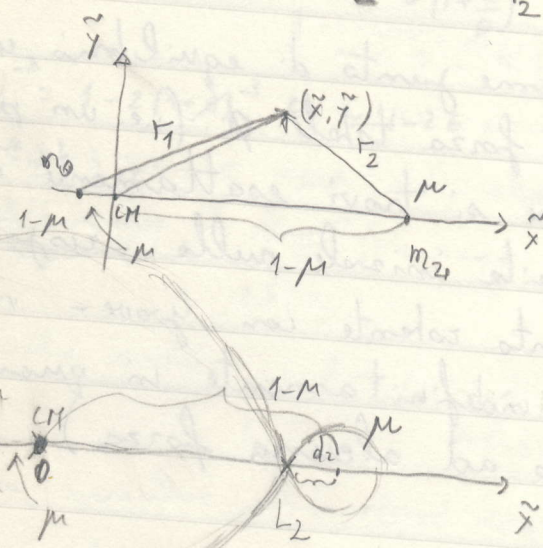
$$R_{si\oplus} \simeq d_{\oplus sole} \left(\frac{M_{\oplus}}{3M_{sole}} \right)^{1/3}$$

Per sfuggire alla Terra e andare verso altri pianeti basta arrivare al bordo della sua sfera di influenza.....

2. Calcolo del valore dell'integrale di Jacobi corrispondente al punto L_2

Abbriemo visto che nel riferimento rotante con le barriere (orbite circolari) l'integrale di Jacobi è:

$$C = \frac{1}{2} (\dot{\tilde{x}}^2 + \dot{\tilde{y}}^2) - \left[\frac{(\tilde{x}^2 + \tilde{y}^2)}{2} + \frac{\mu}{r_2} + \frac{1-\mu}{r_1} \right]$$



$$m_0 + m_4 = 1$$

$$G = 1$$

$$\frac{d}{d\theta} = 1$$

$$(n_{24} = 1, P_{24} = 2\pi)$$

$$\mu = \frac{m_4}{m_0 + m_4}$$

L_2 ha coordinate
e velocità

$$\begin{aligned} \tilde{x} &= 1-\mu-d_2, \tilde{y}=0 \\ \dot{\tilde{x}} &= \dot{\tilde{y}} = 0 \end{aligned} \quad \left(d_2 \approx \left(\frac{\mu}{3}\right)^{1/3} \right)$$

(nel riferimento sfruttando
rotante con le barriere)

Dunque:

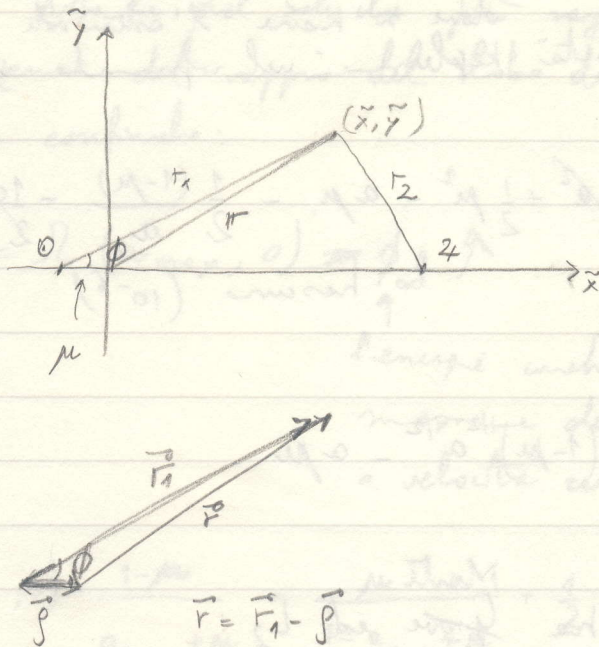
$$-C_2 = \frac{1}{2} \left(1-\mu - \left(\frac{\mu}{3}\right)^{1/3} \right)^2 + \frac{\mu}{(M/3)^{1/3}} + \frac{1-\mu}{1-(\mu/3)^{1/3}}$$

TERMINE DOMINANTE

con $\mu = 10^{-3}$ vale:

$$\begin{aligned} -C_2 &= 0.432 \\ &\quad + 1.44 \times 10^{-2} + 1.07 = 1.52 \end{aligned}$$

3. calcolo del valore dell' integrale di Jacobi per un asteroide in orbita circolare d' ampiezza maggiore a quella del sole



$$r^2 = r_1^2 + p^2 - 2r_1 p \cos\phi \quad \Rightarrow \quad p = 1$$

$$r^2 = r_1^2 + \mu^2 - 2r_1 \mu \cos\phi$$

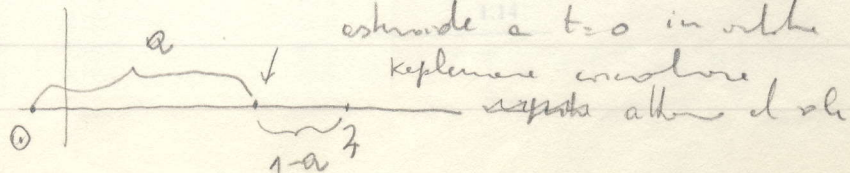
$$-C = \frac{1-\mu}{r_1} + \frac{\mu}{r_2} + \underbrace{\frac{1}{2} \frac{r_1^2}{p}}_{p} + \frac{1}{2} \frac{\mu^2}{p} - \mu r_1 \cos\phi - \frac{1}{2} (\dot{x}^2 + \dot{y}^2)$$

$$C = -\mathcal{H}(x, y) + \frac{1}{2} (\dot{x}^2 + \dot{y}^2)$$

Il moto è possibile solo per $\mathcal{H}(x, y) \geq -C$

$$\mathcal{H}(x, y) = C \text{ curva a velocità zero}$$

E' diverso che troppo valgono il
valore di C



$$\begin{cases} r_1(0) = a ; \quad r_2(0) = 1-a ; \quad \phi(\phi) = \phi \\ \dot{x}(0) = 0 ; \quad \dot{y} = \frac{(1-\mu)}{a^{1/2}} - a \end{cases}$$

velocità lineare del riferimento nel pts
dove si trova l'asteroide ($n_2 = 1$)
velocità kepliana nel riferimento iniziale

$$-C(a) = \frac{1-\mu}{a} + \frac{\mu}{1-a} + \frac{1}{2} \cancel{a^2} + \frac{1}{2} \cancel{\mu^2} - a\mu - \frac{1}{2} \frac{(1-\mu)}{a} - \frac{1}{2} \cancel{a^2}$$

\uparrow le misure (10^{-6})

$$+ (1-\mu)^{1/2} a^{1/2} =$$

$$-C(a) = \frac{1-\mu}{2a} + \frac{\mu}{1-a} + (1-\mu)^{1/2} a^{1/2} - a\mu$$

Prendiamo l'asteroide he Monte Grose ed L_2 :

$$0.3 \leq a \leq 0.93$$

$$(d_2 = \left(\frac{\mu}{3}\right)^{1/3})$$

$$1-d_2 \approx 0.93$$

Tabella n. 1

TABLE I
For bodies initially in circular orbits of radius a_i , the corresponding values of the Jacobi constant are given

a_i	$J(a_i)$
0.30	2.214
0.35	2.020
0.40	1.882
0.45	1.782
0.50	1.707
0.55	1.651
0.60	1.609
0.62	1.595
0.63	1.588
0.65	1.576
0.70	1.552
0.75	1.535
0.80	1.523
0.81	1.521
0.85	1.515
0.90	1.512
0.95	1.514

CONFRONTO

CON $-C_2$

Dato l'asteroide inizialmente in orbita circolare R_0 si deve
 meggiore a ϵ integrale di Jacobi - $C(a)$, quale è la
 massima distanza dal Sole che può raggiungere? Calcolare il
 limite superiore del rapporto del lobo dentro il quale l'asteroide
 può essere confinato:

$$-C(a) = R(a_{\max}, \theta) = \phi$$

massima

\uparrow
 L'energia cinetica è ϕ perché la somma
 massima del lobo non ha nulla come
 a velocità zero.

$$R(a_{\max}, \theta) = \frac{1-\mu}{a_{\max} + \mu} + \frac{\mu}{1-a_{\max}+\mu} + \frac{1}{2} \frac{a^2}{a_{\max}}$$

Tabelle II e Figure 2

TABLE II

For any body, initially in circular orbit of radius a_i , the table shows the maximum value R of the size of the bounding lobe and the ratio $R(a_i)/a_i$

a_i	$R(a_i)$	$R(a_i)/a_i$
0.30	0.48	1.57
0.35	0.54	1.51
0.40	0.58	1.45
0.45	0.63	1.40
0.50	0.68	1.36
0.55	0.72	1.31
0.60	0.76	1.27
0.62	0.77	1.24
0.65	0.79	1.22
0.70	0.83	1.19
0.75	0.86	1.15
0.80	0.91	1.14
0.81	0.92	1.14

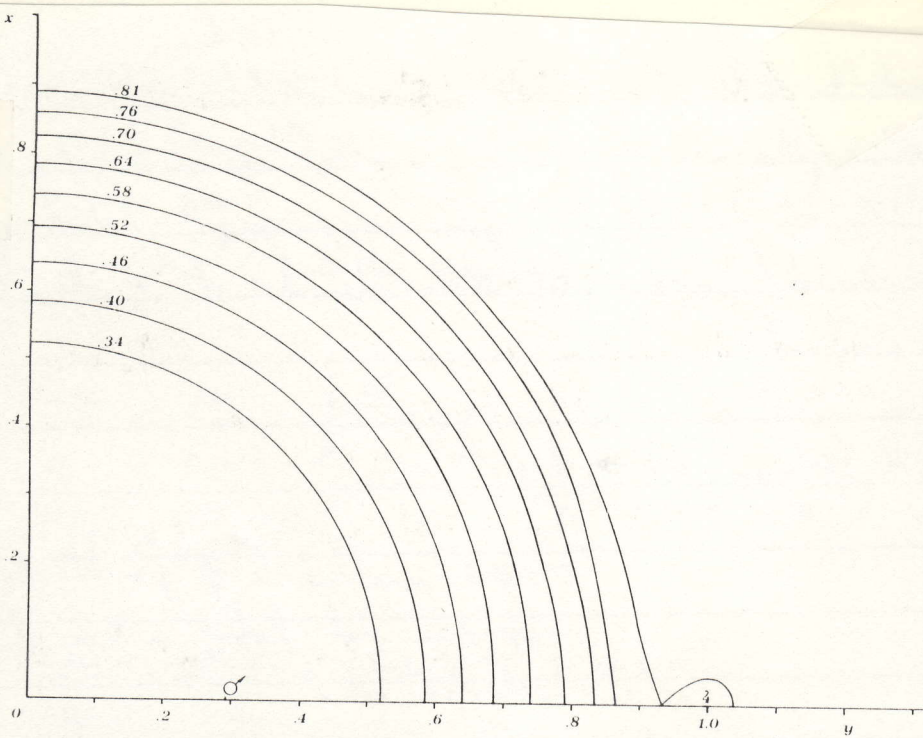


Fig. 2. Bounding lobes for the asteroids initially in circular orbits of radii $0.34 \leq a_i \leq 0.81$: each curve is labelled with the corresponding value of a_i . The reference frame is the rotating one and $a_2 = 1$.

Problemi con MATLAB

D) Dato l'integrale

$$J = -C = \underbrace{\frac{1}{2}(\tilde{x}^2 + \tilde{y}^2)}_{\text{con } \mu = 10^{-3}} + \underbrace{\frac{\mu}{r_2} + \frac{1-\mu}{r_1}}_{\mathcal{R}(\tilde{x}, \tilde{y})} - \frac{1}{2}(\dot{\tilde{x}}^2 + \dot{\tilde{y}}^2)$$

disegnare le curve di livello

$$J = \mathcal{R}(\tilde{x}, \tilde{y}) - \frac{1}{2}(\dot{\tilde{x}}^2 + \dot{\tilde{y}}^2)$$

$$\mathcal{R}(\tilde{x}, \tilde{y}) - J = \frac{1}{2}(\dot{\tilde{x}}^2 + \dot{\tilde{y}}^2) \geq 0 \quad \Rightarrow \quad \mathcal{R}(\tilde{x}, \tilde{y}) \geq J$$

$$\boxed{\mathcal{R}(\tilde{x}, \tilde{y}) = J}$$

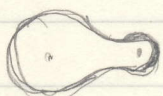
equazione delle curve a velocità zero
(rispetto al riferimento rotante)

partire da $J_2 = 1.520$ che è il valore delle ura di livello percorribile per L_2 e disegnare le curve (nel piano \tilde{x}, \tilde{y})

$$\mathcal{R}(\tilde{x}, \tilde{y}) = 1.520 \quad (\text{dove disegnare due curve attorno ad entrambi i corpi che compongono gli effetti di forza})$$

Valori > 1.520 devono dare 3 curve: una attorno al Sole, una attorno a Giove e l'altra attorno ad entrambi i corpi (confronto degli effetti forza)

Una valore d'ura < 1.520 deve dare una curva a favore



(e a pene che tiene gli effetti forza)

Quando ancora si devono solo trovare le curve che favoriscono per L_1 , poi per L_3 e poi le sole attorno ad L_4 ed L_5 .

- 2) Disegnare la curva d'livello $\mathcal{R}(\tilde{x}, \tilde{y}) = J_2$ nel piano \tilde{x}, \tilde{y} e le curve d'livello d'un estremo che perde con un orbita circolare attorno al Sole. Vi giungo:

$$J(a) = -C(a) = \frac{1-M}{2a} + \frac{M}{1-a} + (1-M)^{1/2} a^{1/2} - a\mu$$

$$\mathcal{R}(\tilde{x}, \tilde{y}) = J(a)$$

$$0.30 \leq a \leq 0.89 \quad (\text{come in Fig. 2}).$$

In ogni curva indicare qual'è ora il valore del distacco maggiore dell'estremo